вен нулю) и температура в любой точке материала одинакова и равно температуре мокрого термометра $\mathbf{t}_{\mathbf{m}}$.

Температура поверхности нити T_n определяется на основе применения закона конвективного теплообмена [1, с.92]. Оценку коэффициента теплообмена к воздуху рекомендуется производить согласно критерия (теплообмена) Нуссельта $N_{U,x,d}$ [4]. Учитывая турбулентный характер течения воздуха в ПТУ, температура на поверхности нити при пневмотермотекстурировании определяется следующей математической моделью:

$$T_{\rm m} = T_{\rm m} = T_{\rm c} - \frac{q_{\rm m} \cdot d_{\rm mk}}{0.018 \left[\frac{V_{\rm B} \cdot d_{\rm mk}}{V_{\rm B}}\right]^{0.8}}, \quad (10)$$

где λ_B – коэффициент теплопроводности воздуха при температуре T_B ; d_{nk} – диаметр подводящего канала ПТУ; v_B – вязкость воздуха при температуре T_B ;

Таким образом, вышеизложенная методика оценки параметров процесса пневмотермотекстурирования позволяет произвести оценку основных термодинамических параметров данного технологического процесса и может быть рекомендована для практического использования. В качестве исходных термодинамических параметров процесса пневмотермотекстурирования рекомендуется принимать температуру пластичности и плавления полимерного материала, используемого в качестве стержневого компонента ПТН.

Литература

- 1. Лыков А.В. Теория сушки, М., Энергия, 1968 472 с.
- 2. Лыков А.В. Теория тепло— и массопереноса. М., Госэнергоиздат, 1963 536 с.
- 3. Михайлов Ю.А. Применение системы дифференциальных уравнений тепло— и массообмена к процессу конвективной сушки., Известия АН Латвийской ССР, №12, 1956.
- 4. Гуревич М.И. Теория струй идеальной жидкости. М.:Гос.изд. физико— математ. Литературы, 1961.— 496 с.

УДК 677.024.83

О НЕКОТОРЫХ ВОПРОСАХ ЗЕВООБРАЗОВАНИЯ НА ТКАЦКИХ СТАНКАХ

Башметов А.В., Ярыго Э.В.

В работе [1] предложена методика расчета перемещений опушки ткани и натяжения нитей основы при зевообразовании на ткацком станке. Однако при этом не учитываются силы трения основных нитей в галевах и ламельном приборе.

Определим влияние сил трения нитей основы на процесс зевообразования. Для этого введем понятие «начальный момент времени», под которым понимаем условное начальное положение нитей основы и ткани, при котором отсутствует воздействие ремизного прибора на нити основы, т.е. нити основы и ткань на участке от направляющего элемента ткани до ламельного прибора расположены по прямой линии.

изантямицивовада стравоваф Андатискі, мірохими адміків можвоною в потакцизм

Схема зева приведена на рис. 1.

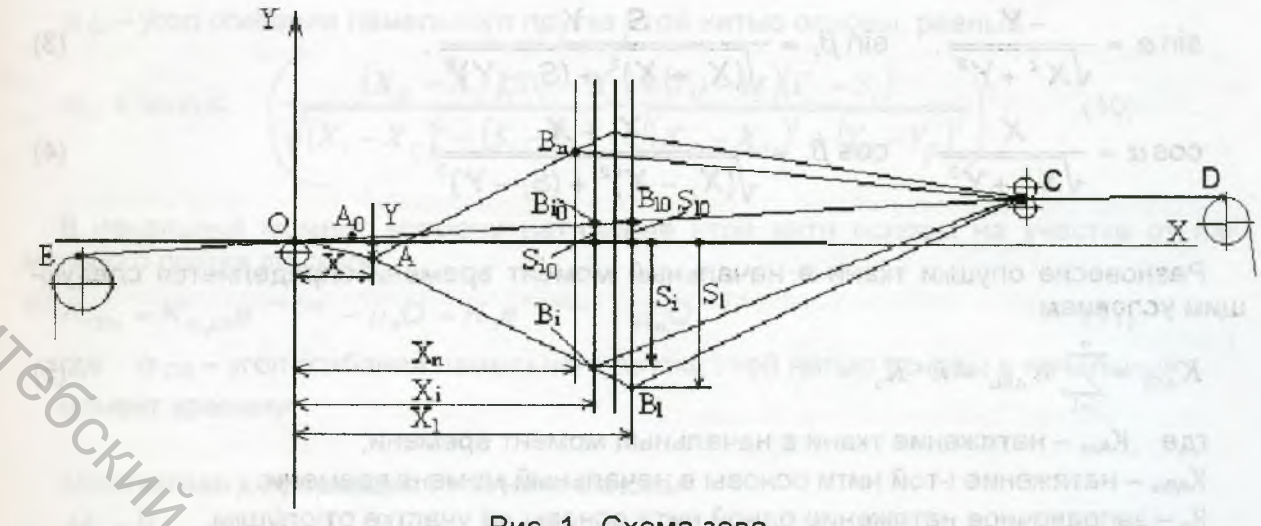


Рис. 1. Схема зева

На рисунке приняты следующие условные обозначения: Е (Х_Е, У_Е) – координаты точки набегания ткани на грудницу, О (0, 0) – координаты точки контакта ткани с направляющим элементом, А₀ (X₀, Y₀) – положение опушки ткани в начальный момент времени, A(X, Y) — положение опушки ткани при зевообразовании, $B_{i0}(X_{i0}, S_{i0})$ — положение глазка галева i-той ремизки в начальный момент времени, B_i (X_i, S_i) - положение глазка галева і-той ремизки при зевообразовании, С (Хс, Ус) – координаты точки выхода нитей основы из ламельного прибора, D (Хр, Ур) – координаты точки схода нитей основы со скала, і 4 порядковый номер ремизки, п – раппорт проборки основных нитей в ремиз. Ось У параллельна линии движения ремизок.

Рассмотрим равновесие опушки ткани. Зона опушки ткани представлена на рис. 2.

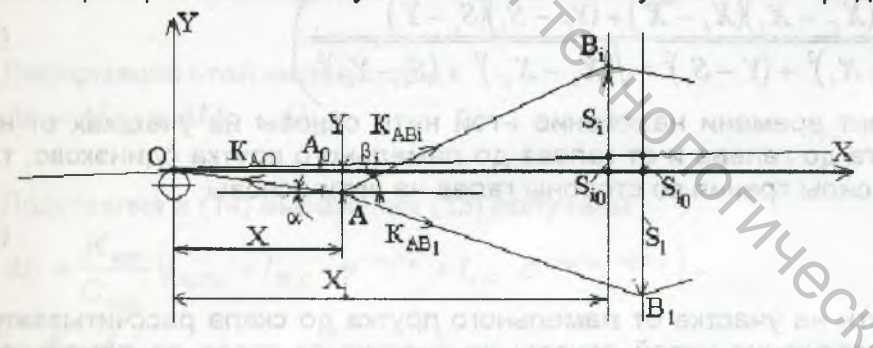


Рис. 2. Расчетная схема

Принятые условные обозначения: К – натяжение ткани в расчете на п нитей основы, К_{аві} – натяжение, действующее на опушку ткани со стороны і-той нити основы, α - угол между K_{AO} и осью OX, β - угол между K_{AB} и осью OX.

Условие равновесия опушки ткани в векторном виде

$$\overline{K_{AO}} = \sum_{i=1}^{n} \overline{K_{ABi}}$$

Перейдем от векторного вида к координатному

$$\sum_{i=1}^{n} \left(K_{ABi} \cos \beta_i \right) - K_{AO} \cos \alpha = 0$$

$$\sum_{i=1}^{n} \left(K_{ABi} \sin \beta_i \right) + K_{AO} \sin \alpha = 0$$
(2)

4(1)

где

$$\sin \alpha = \frac{-Y}{\sqrt{X^2 + Y^2}}, \quad \sin \beta_i = \frac{S_i - Y}{\sqrt{(X_i - X)^2 + (S_i - Y)^2}},$$
 (3)

$$\cos \alpha = \frac{X}{\sqrt{X^2 + Y^2}}, \quad \cos \beta_i = \frac{X_i - X}{\sqrt{(X_i - X)^2 + (S_i - Y)^2}}.$$
 (4)

Равновесие опушки ткани в начальный момент времени определяется следующим условием

$$K_{AO_3} = \sum_{i=1}^n K_{ABi_3} = n \cdot K_3 , \qquad (5)$$

где К_{Аоз} – натяжение ткани в начальный момент времени;

К_{АВіз} – натяжение і-той нити основы в начальный момент времени;

 K_3 – заправочное натяжение одной нити основы на участке от опушки ткани до ламельных прутков.

Натяжение i-той нити основы до и после глазков галев будет различным. По формуле Эйлера

$$K_{BiC}=K_{ABi}$$
, $e^{-\mu_B\alpha_{Bi}}$, $e^{-\mu_B\alpha_$

где K_{BiC} — натяжение нити основы на участке между ремизным и ламельным приборами;

μ_в κοэффициент трения нити основы о галево;

lpha $_{
m Bi}$ — угол огибания глазка галева i-той нитью основы, равный

$$\alpha_{Bi} = \arccos\left(\frac{(X_C - X_i)(X_i - X) + (Y_C - S_i)(S_i - Y)}{\sqrt{(X - X_i)^2 + (Y - S_i)^2 \cdot \sqrt{(X_i - X_C)^2 + (S_i - Y_C)^2}}}\right).$$
(7)

В начальный момент времени натяжение і-той нити основы на участках от направляющего элемента до галева и от галева до ламельного прутка одинаково, т.к. при этом отсутствуют силы трения со стороны галев на нити основы

$$K_{BiC3} = K_{ABi3} = K_3. \tag{8}$$

Натяжение і-той нити на участке от ламельного прутка до скала рассчитывается аналогично расчету натяжения нитей основы на участке от галев до ламельного прутка, но с учетом взаимодействия нити основы и ламели

$$K_{CD} = K_{BiC} \cdot \mathbf{e}^{-\mu_C \alpha_{Ci}} - \mu_n Q = K_{EBi} \cdot \mathbf{e}^{-\mu_B \alpha_{Bi} - \mu_C \alpha_{Ci}} - \mu_n Q, \qquad (9)$$

где К_{CD} – натяжение і-той нити основы на участке CD;

 μ с – коэффициент трения нити основы о ламельный пруток;

 μ _л – коэффициент трения нити основы о ламель;

Q – масса ламели;

 $lpha_{\rm Ci}$ – угол огибания ламельного прутка і-той нитью основы, равный

$$\alpha_{Ci} = \arccos \left(\frac{(X_D - X_C)(X_C - X_i) + (Y_D - Y_C)(Y_C - S_i)}{\sqrt{(X_i - X_C)^2 + (S_i - Y_C)^2} \cdot \sqrt{(X_C - X_D)^2 + (Y_C - Y_D)^2}} \right).$$
(10)

В начальный момент времени натяжение і-той нити основы на участке от ламельного прутка до скало

$$K_{CD_3} = K_{Bi_nC_3}e^{-\mu_C\alpha_{Ci_0}} - \mu_nQ = K_3e^{-\mu_C\alpha_{Ci_0}} - \mu_nQ$$
, (11)

где $\alpha_{\text{ Ci0}}$ – угол огибания ламельного прутка і-той нитью основы в начальный момент времени.

Абсолютная деформация і-той нити основы

$$\Delta I_{i} = (I_{ABi} + I_{BiC}) - (I_{A_{0}Bi_{0}} + I_{Bi_{0}C}), \tag{12}$$

где

$$I_{ABi} = \sqrt{(X_i - X)^2 + (S_i - Y)^2}, I_{BiC} = \sqrt{(X_C - X_i)^2 + (Y_C - S_i)^2},$$

$$I_{A_0Bi_0} = \sqrt{(X_{i_0} - X_{O})^2 + (S_{i_0} - Y_{O})^2}, I_{Bi_0C} = \sqrt{(X_C - X_{i_0})^2 + (Y_C - S_{i_0})^2}.$$

Удлинения участков нити основы, выраженные через увеличение натяжения при зевообразовании

$$\Delta I_{ABi} = \left(K_{ABi} - K_3\right) \frac{I_{A_0Bi_0}}{C_{1MO}}, \quad \Delta I_{BiC} = \left(K_{BiC} - K_3\right) \frac{I_{Bi_0C}}{C_{1MO}}, \quad \Delta I_{CD} = \left(K_{CD} - K_{CD3}\right) \frac{I_{CD}}{C_{1MO}}. \quad (13)$$

Деформация і-той нити основы

$$\Delta I_i = \Delta I_{ABi} + \Delta I_{BiC} + \Delta I_{CD}. \tag{14}$$

Подставляя в (14) выражения (13) получаем

$$\Delta I_{I} = \frac{K_{ABI}}{C_{1M.O.}} \left(I_{A_{0}BI_{0}} + I_{BI_{0}C} \cdot e^{-\mu_{B}\alpha_{BI}} + I_{CD} \cdot e^{-\mu_{B}\alpha_{BI} - \mu_{C}\alpha_{CI}} \right) - \frac{K_{3}}{C_{1M.O.}} \left(I_{A_{0}BI_{0}} + I_{BI_{0}C} + I_{CD} \cdot e^{-\mu_{C}\alpha_{C_{0}}} \right)$$
(15)

Откуда

$$K_{ABi} = \frac{A_i + \Delta I_i C_{1M,O.}}{I_{A_0Bi_0} + (I_{Bi_0C} + I_{CD} e^{-\mu_C \alpha_{Ci}}) e^{-\mu_B \alpha_{Bi}}},$$
(16)

ПДе

$$A_{i} = K_{3} \left(I_{A_{0}Bi_{0}} + I_{Bi_{0}C} + I_{CD} e^{-\mu_{C}\alpha_{C_{i}0}} \right). \tag{17}$$

Абсолютная деформация ткани

$$\Delta I_{m\kappa} = I_{OA} - I_{OA_0} = \sqrt{X^2 + Y^2} - \sqrt{X_0^2 + Y_0^2}.$$
 (18)

Деформация участков ткани, выраженная через приращение натяжения при зевообразовании

$$\Delta I_{m\kappa} = \Delta I_{AO} + \Delta I_{OF}, \tag{19}$$

где

$$\Delta I_{AO} = (K_{AO} - K_3) \frac{I_{A_0O}}{C_{1m\kappa}}, \qquad \Delta I_{OE} = (K_{OE} - K_{OE3}) \frac{I_{OE}}{C_{1m\kappa}}.$$
 (20)

Натяжение ткани на участке от грудницы до направляющего элемента ткани

$$K_{OE} = K_{AO} \cdot e^{-\mu_0 \alpha_0}, \qquad (21)$$

где α_0 – угол огибания тканью направляющего элемента при зевообразовании, равный

$$\alpha_0 = \arccos \left(\frac{-X_E X - Y_E Y}{\sqrt{X^2 + Y^2} \cdot \sqrt{X_E^2 + Y_E^2}} \right)$$
 (22)

Натяжение ткани на участке от грудницы до направляющего элемента ткани в начальный момент времени

$$K_{OE_3} = K_{AO_3} e^{-\mu_0 \alpha_{O_0}} = K_3 \cdot e^{-\mu_0 \alpha_{O_0}},$$
 (23)

где α_{00} – угол огибания тканью направляющего элемента в начальный момент времени.

Подставляя (20), (21), (23) в (19) получим

$$\Delta I_{m\kappa} = \frac{K_{AO}}{C_{1m\kappa}} \left(I_{OA_0} + I_{OE} \cdot e^{-\mu_O \alpha_O} \right) - \frac{K_3}{C_{1m\kappa}} \left(I_{OA_0} + I_{OE} e^{-\mu_O \alpha_{O_0}} \right). \tag{24}$$

Откуда

$$K_{AO} = \frac{K_3 (I_{OA_0} + I_{OE} e^{-\mu_0 \alpha_{O_0}}) + \Delta I_{m\kappa} C_{1m\kappa}}{I_{OA_0} + I_{OE} e^{-\mu_0 \alpha_{O}}} = \frac{B + \Delta I_{m\kappa} C_{1m\kappa}}{I_{OA_0} + I_{OE} e^{-\mu_0 \alpha_{O}}},$$
 (25)

где

$$B = K_3 \Big(I_{OA_0} + I_{OE} e^{-\mu_0 \alpha_{O_0}} \Big).$$
 (26)

Подставляя (16) и (25) в (2) получаем

$$\sum_{i=1}^{n} \left(\frac{A_{i} + \Delta l_{i} C_{1m.o.}}{l_{A_{0}Bl_{0}} + \left(l_{Bi_{0}C} + l_{CD} e^{-\mu_{C}\alpha_{Ci}} \right) e^{-\mu_{B}\alpha_{Bi}}} \cos \beta_{i} \right) - \frac{B + \Delta l_{m\kappa}C_{1m\kappa}}{l_{OA_{0}} + l_{OE}} \cos \alpha = 0$$

$$\sum_{i=1}^{n} \left(\frac{A_{i} + \Delta l_{i} C_{1m.o.}}{l_{A_{0}Bl_{0}} + \left(l_{Bi_{0}C} + l_{CD} e^{-\mu_{C}\alpha_{Ci}} \right) e^{-\mu_{B}\alpha_{Bi}}} \sin \beta_{i} \right) + \frac{B + \Delta l_{m\kappa}C_{1m\kappa}}{l_{OA_{0}} + l_{OE}} \sin \alpha = 0$$

$$(27)$$

Решением этой системы является положение опушки ткани с координатами (X,У). Подставляя полученные значения X и Y в (7), (12), (17), находим натяжение і-той нити основы на участке от опушки ткани до галева и из формул (6), (7), (9) и (10) определяем натяжение і-той нити на остальных участках заправки. Натяжение ткани определяем из формулы (25).

Таким образом, представленная методика позволяет определить перемещения опушки ткани и натяжение нитей основы и ткани при зевообразовании с учетом сил трения, действующих на нити основы со стороны рабочих органов ткацкого станка.

Литература

Башметов А.В., Силивончик В.В. Анализ разнонатянутости основных нитей на ткацком станке с учётом перемещения опушки ткани. Вестник ВГТУ, 1999

УДК 677.022.6

ИССЛЕДОВАНИЕ ПРОЦЕССА ФОРМИРОВАНИЯ СИНЕЛЕЧНЫХ НИТЕЙ

Петюль И.А., Калмыкова Е.А., Невских В.В., Коган А.Г.

BUTEE В последнее время особой популярностью пользуются мебельные, костюмные, курточные ткани, выработанные с использованием синелечных нитей.

На ПО «Виттекс» для производства синели используется модернизированная машина СИМ-3, на которой был проведен двухфакторный эксперимент по оптимизации основных параметров технологического процесса. В качестве входных параметров были приняты:

 X_1 – частота вращения выпускных роликов, n_{pon} , мин⁻¹

 X_2 – частота вращения веретен, $n_{\text{вер}}$, мин⁻¹

На основании предварительного эксперимента были установлены уровни и интервалы варьирования факторов X_1 и X_2 . Фактор X_1 изменялся в пределах от 17 до 22 с интервалом 5 мин⁻¹, фактор X₂ - от 950 до 1350 с интервалом 200 мин⁻¹.

В качестве критериев оптимизации при указанных изменениях частоты вращения выпускных роликов и веретен были использованы: линейная плотность синели, Т, коэффициент вариации по линейной плотности, $\mathsf{C}_{\mathsf{v}}(\mathsf{T})$; коэффициент объемности, K_{v} ; крутка нити, К; абсолютная разрывная нагрузка, R; относительная разрывная нагрузка, R_o; прочность закрепления ворса, P₃.

Определение численных значений критериев оптимизации проводилось по специально разработанным методикам.

Коэффициент объемности, характеризующий объемное содержание в синели ворсовой нити, рассчитывался по формуле:

 $K_v = V_B / V_c$, где

 $V_{\rm B}$ – объем, занимаемый ворсовой нитью, мм³

V_с – объем цилиндра, занимаемый в пространстве синелью с высотой ворса h,

Полученные данные обрабатывались с помощью прикладных программ на ЭВМ. Зависимости критериев оптимизации от входных параметров описывались полиномами второго порядка, которые имеют вид:

$$y = a_0 + a_1 X_1 + a_2 X_2 + a_{12} X_1 X_2 + a_{11} X_1^2 + a_{22} X_2^2$$

НАВНИЯ В ЯЗТИДОХБИ НИЦВИЗВЕ ТРЕИДИО ФЕОБ : ИПОДОМ МЕНИВИИИ

ты возывния выпусных зольное. Вои максимальном значан

С помощью программы «Statistic for Windows» были получены математические модели и их графические изображения, рассчитаны коэффициенты регрессии полученных моделей и, используя критерий Стъюдента, исключены незначимые. Коэффициенты полученных математических моделей представлены в таблице